

卒業論文

体積－エネルギーカーブからの熱膨張の予測

関西学院大学 理工学部 情報科学科

2639 永山 優

2006年3月

指導教員 西谷滋人 教授

目次

第1章	緒言	1
第2章	熱膨張の起源	2
第3章	Quasi-harmonic 近似法	3
3.1	2体間ポテンシャル	3
3.1.1	Morse ポテンシャル	3
3.2	体積弾性率 B (bulk modulus)	4
3.3	デ바이温度 Θ_D	5
3.4	デバイ関数 $D(\Theta_D)$	7
3.5	自由エネルギー F	7
3.6	熱膨張係数 α	8
第4章	結果	9
4.1	K	9
4.1.1	2体間ポテンシャル	10
4.1.2	体積弾性率 B	11
4.1.3	デバイ温度 Θ_D	12
4.1.4	デバイ関数 $D(\Theta_D)$	13
4.1.5	自由エネルギー F	14
4.1.6	熱膨張係数 α	17
4.2	Ti-bcc	20
4.2.1	2体間ポテンシャル	21
4.2.2	体積弾性率 B	24
4.2.3	デバイ温度 Θ_D	24
4.2.4	デバイ関数 $D(\Theta_D)$	25
4.2.5	自由エネルギー F	26
4.2.6	熱膨張係数 α	28
第5章	総括	33

概要

熱膨張は有限温度における格子振動の効果によって現れる。ところが、第一原理計算でこの振動の効果を取り入れて、有限温度で振動の効果を実算により求めていくには、ダイナミカルマトリックス、フォノン分散、フォノンDOSといったさまざまな段階を踏んで計算を行わなければならない。

そこで本研究では第一原理計算によるアプローチではなく、Moruzziらが採用したQuasi-harmonic近似法、すなわち体積エネルギーカーブから自由エネルギーを実算する手法を用いた。

最初にMoruzziらの論文に掲載されている計算手順を再現し、このアプローチの正確さを確かめるため、彼らが計算したKの自由エネルギーを同様に計算で求めた。また、自由エネルギーの平衡原子間距離を用いることで熱膨張係数を計算した。それらを彼らの算出した値と比較してみると、同じ結果が再現され、計算の妥当性が確認された。そこで、この手法をTi-bccに適用し自由エネルギーを実算した結果、熱膨張を再現することができた。

第1章 緒言

熱膨張は有限温度における格子振動の効果によって現れてくる。第一原理計算でこの振動の影響を計算すると、ダイナミカルマトリックス、フォノン分散、フォノンDOSといったさまざまな段階を踏んで計算を行わなければ、この振動の影響を考慮できない。

そこで本研究では、第一原理計算による手法ではなく、Moruzziらが採用した、体積-エネルギーカーブから自由エネルギーを計算する手法、Quasi-harmonic近似法を用いた。本研究の目的はこの手法を用いて、手軽に熱膨張を計算することである。本研究で実行したことは、まずMoruzziらの論文に掲載されている計算手順を再現し、彼らが計算したKの自由エネルギーをMapleを用いて計算し、プロットした。

彼らがサンプルとして計算したKの熱膨張を、論文に掲載されている式を用いて計算し、結果を確かめた。その結果、彼らの計算結果と同じ値が算出できた。そこで、実際にこの手法をTi-bccに適用し自由エネルギーを計算した。つまり、このプログラムを使えば、元素の物性値パラメータを入力するだけで、自由エネルギーが計算でき、今後違う物質の自由エネルギーを計算するにしても容易に計算できることになる。そして最後に、K, Ti-bccの熱膨張係数を計算し、その様子をプロットした。グラフからも熱膨張している様子がはっきり確認できた。

第2章 熱膨張の起源

2原子が十分離れた距離でのエネルギーを基準として0とし，2原子を近づけていくと結合順位の低下に伴って，ある距離までエネルギーが減少する，また，近づきすぎると電子同士が重なり，反発する力が強くなり，エネルギーは急上昇する．固体でもこの2原子分子と同様に結合エネルギーの距離依存性が求められる．原子間ポテンシャルにより結合エネルギー曲線を求めると図2.1のようになる．熱膨張はこのような原子間ポテンシャルの2次以上の項によって現れる．

平衡点からの原子の変位 x のポテンシャルエネルギーを

$$U(x) = cx^2 - gx^3 \quad (2.1)$$

と取ることができる．

2次までの項では，調和振動子を表し，熱膨張は現れない． x^3 の項が原子間相互作用の非対称性を表し，この項が熱膨張係数と直接関わってくる．また有限温度での平均の変位は，ボルツマン分布関数を計算することで求まる．

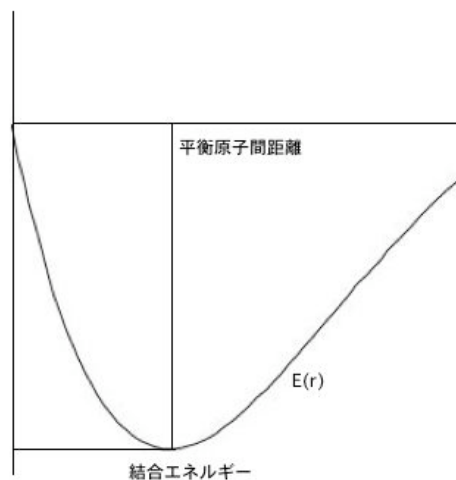


図 2.1: 結合エネルギーの原子間距離 x に対する依存性

第3章 Quasi-harmonic 近似法

本章では, Moruzzi らが採用した Quasi-harmonic 近似法 [1] の手順を順次述べていく.

3.1 2 体間ポテンシャル

3.1.1 Morse ポテンシャル

バネモデルは, 個体のミクロの振る舞いを記述する最も適切なモデルである. 個体のバネを数学的に記述する 2 体間ポテンシャル (pair potential) には, モース (Morse) 型がある. Morse ポテンシャルは, 2 原子分子の原子間距離 r に依存するポテンシャルである.

まず Moruzzi らが計算した K の結合エネルギーから物性値パラメータ A , D , λ , r_0 を以下の原子間ポテンシャルの式にフィットして求める. 結合エネルギーを

$$E(r) = a + be^{-\lambda r} + ce^{-2\lambda r} \quad (3.1)$$

と表す.

次に Morse ポテンシャルに結合エネルギーをフィットさせると以下のようになる.

$$E(r) = A - 2De^{-\lambda(r-r_0)} + De^{-2\lambda(r-r_0)} \quad (3.2)$$

これに以下の計算式を使うことで物性値パラメータが抽出される.

$$a = A, \quad (3.3)$$

$$\frac{b}{c} = -2e^{-\lambda r_0}, \quad (3.4)$$

$$D = \frac{b^2}{4c}. \quad (3.5)$$

これらのパラメータを使うことで, 自由エネルギーを求める際に考慮しなければならない体積弾性率 B (bulk modulus) を計算することができる.

3.2 体積弾性率 B (bulk modulus)

体積弾性率とは物体に圧力を加えたときの変形のしにくさを示す指標である。これを体積と圧力の関係から導き出す。

まず、

$$x = e^{-\lambda r} \quad (3.6)$$

と置くと、式(3.1)式は

$$E = a + bx + cx^2 \quad (3.7)$$

と表せる。

熱膨張を計算するためには、圧力の体積および温度依存性を決定する必要がある。そこで圧力 P は全エネルギーから派生した負の体積を取ることによって評価することができる。

$$P = -\frac{\partial E}{\partial V} \quad (3.8)$$

これを

$$P = -\frac{\partial E / \partial x}{\partial V / \partial x} \quad (3.9)$$

と変形させる。ここで体積 V は、

$$V = \frac{4}{3} \pi r^3 \quad (3.10)$$

と表せる。また、(3.6)より r は

$$r = -\frac{\ln x}{\lambda} \quad (3.11)$$

と表せることから、体積 V は

$$V = \frac{4}{3} \pi \left(-\frac{\ln x}{\lambda}\right)^3 \quad (3.12)$$

というように x の関数と見ることができる。これを(3.9)式に戻すと、圧力 P は以下のように定義できる。

$$P = \frac{x \lambda^3}{4 \pi \ln x^2} (b + 2cx) \quad (3.13)$$

ここで、体積弾性率 B は

$$B = -V \frac{\partial P}{\partial V} \quad (3.14)$$

と表されるので、これも上記の P と同様に

$$B = -V \frac{\partial P / \partial x}{\partial V / \partial x} \quad (3.15)$$

(3.15) 式のように変形し、先ほど求めた (3.12), (3.13) 式を (3.15) 式に代入すると、体積弾性率は

$$B = -\frac{x \lambda^3}{12 \pi \ln x} \left((b + 4cx) - \frac{2}{\ln x} (b + 2cx) \right) \quad (3.16)$$

と表すことができる。この体積弾性率は次に記述するデバイ温度 Θ_D に深く関係する物性値となる。

3.3 デバイ温度 Θ_D

デバイ温度とは格子振動や、結晶の結合力といったような物理量と深くかかわり合いを持つ温度のことを指し、物質の硬さの指標となる。一般的に物質のデバイ温度は、硬い物質ほど高く、逆に柔らかい物質ほど低い値を取る。

低温では低振動数の格子モードのみが基底状態から励起されることになる。[2] 基底状態とは、最もエネルギーの低い安定な状態のことを言う。低振動数のモードとしては、長波長の音響モード、つまり音波があり、その分散関係は

$$\omega = v_s k \quad (3.17)$$

の形をとる。ここで v_s は音速を表す。

この分散関係にともなう状態密度関数 $g(\omega)$ は、

$$g(\omega) = \frac{V k^2}{2 \pi^2} \frac{dk}{d\omega} = \frac{V \omega^2}{2 \pi^2 v_s^3} \quad (3.18)$$

と表すことができる。ここでは v_s は伝搬の方向に依存し、 ω は k の大きさだけによるという仮定は成立しない。しかし、もし因子 $1/v_s^3$ が全ての方向にわたって平均したものを表していると思えば、

$$g(\omega) = \frac{V \omega^2}{2 \pi^2} \left(\frac{1}{v_l^3} + \frac{2}{v_t^3} \right) \quad (3.19)$$

と表すことができる。ここでの状態密度は3個の音響分岐、すなわち1個の縦波 (longitudinal) と2個の横波 (transverse) にわたって和をとる必要がある。ここで、 v_t , v_l はそれぞれ縦波と横波のモードの音速であり、

$$\frac{1}{v_s^3} = \frac{1}{v_l^3} + \frac{2}{v_t^3} \quad (3.20)$$

v_s は全ての方向にわたって平均したものとみなすことができる。

次に、状態密度関数をカットオフ振動数 ω_D まで積分する。1原子あたり、つまり1次元で考えているのを3次元で考えると、モードの数は3となり、

$$\int_0^{\omega_D} g(\omega) d\omega = 3 \quad (3.21)$$

これを解くと,

$$\frac{V}{6 \pi^2} \left(\frac{1}{v_l^3} + \frac{2}{v_t^3} \right) \omega_D^3 = 3 \quad (3.22)$$

と表される. ここで, 3個の音響分子の平均を

$$\frac{3}{v^3} = \frac{2}{v_t^3} + \frac{1}{v_l^3} \quad (3.23)$$

とし, (3.22) 式に代入すると,

$$\frac{V}{6 \pi^2} v^{-3} \omega_D^3 = 1 \quad (3.24)$$

と変形することができる. また, v を ρ (密度) と B (体積弾性率) で定義すると,

$$v = \sqrt{\frac{B}{\rho}} \quad (3.25)$$

となる. また ρ は,

$$\rho = \frac{M}{V} \quad (3.26)$$

と表され, 体積 V は,

$$V = \frac{4}{3} \pi r^3 \quad (3.27)$$

だから, (3.26) 式と (3.27) 式を (3.25) 式に代入すると,

$$v = \sqrt{\frac{4}{3} \pi r^3 B} \quad (3.28)$$

というように変形できる. これを (3.24) 式に代入すると,

$$\omega_D^3 = 6 \pi^2 \frac{3}{4 \pi r^3} v^3 = 6 \pi^2 \left(\frac{4}{3} \pi r^3 \right)^{-1} \left(\frac{4}{3} \pi r^3 \right)^{\frac{3}{2}} \left(\frac{B}{M} \right)^{\frac{3}{2}} \quad (3.29)$$

となり,

$$\omega_D = (6 \pi^2)^{\frac{1}{3}} \left(\frac{4}{3} \pi r^3 \right)^{\frac{1}{6}} \sqrt{\frac{B}{M}} \quad (3.30)$$

と表すことができる. ここで, デバイ温度は,

$$k_B \Theta_D = \frac{h}{2 \pi} \omega_D \quad (3.31)$$

と一般的に表され, このときの k_B , ω_D はそれぞれ¹ボルツマン定数 k_B (Boltzmann's constants), ²プランク定数 h (Plank's constants) と呼ばれる定数のことを指す. ま

¹ $k_B = 1.3806503 \times 10^{-23} [\text{J/K}]$

² $h = 6.6261 \times 10^{-34} [\text{J/s}]$

た, ω_D はデバイ振動数 (Debye frequency) である. これに式 (3.30) 式を代入すると,

$$\Theta_D = \frac{h}{2 \pi k_B} (6 \pi^2)^{\frac{1}{3}} \left(\frac{4}{3} \pi r^3\right)^{\frac{1}{6}} \sqrt{\frac{B}{M}} \quad (3.32)$$

これを計算すると,

$$\Theta_D = 67.48 \sqrt{\frac{rB}{M}} \quad (3.33)$$

となる. ここで, v_t , v_l をそれぞれ ρ を用いて表すと,

$$v_t = \sqrt{\frac{S}{\rho}} \quad (3.34)$$

$$v_l = \sqrt{\frac{L}{\rho}} \quad (3.35)$$

というように表され, これらに Molzzi らが計算した値, $S=0.30B$, $L=1.42B$ をそれぞれ代入すると, v は

$$v = 0.617 \sqrt{\frac{B}{\rho}} \quad (3.36)$$

となる. これを (3.30) 式に代入し, Θ_D を計算すると,

$$(\Theta_D)_0 = 41.63 \sqrt{\frac{r_0 B}{M}} \quad (3.37)$$

となる. ここで, r_0 は平衡原子間距離 [a.u.], M は原子量, B は r_0 において計算された体積弾性率 [kbar] を表す. 以下, 式 (3.37) を用いて自由エネルギーを計算する.

3.4 デバイ関数 $D(\Theta_D)$

デバイ関数とはデバイ温度をパラメータとする関数で

$$D(y) = \frac{3}{y^3} \int_0^y \frac{e^x x^4}{(e^x - 1)^2} dx \quad (3.38)$$

と表せる. これは $y \rightarrow 0$ とすると, $D \rightarrow 1$ となり, 古典統計力学に対応している. この関数の $y = \Theta_D$ として計算していく.

3.5 自由エネルギー F

自由エネルギーとは, 振動している物質の全エネルギーである, これを式で表現すると, 以下のようになる.

$$F(r, T) = E(r) + E_D(r, T) - TS_D(r, T) \quad (3.39)$$

ここで、 T は温度、 E_D と S_D はデバイ関数で、 E_D と S_D はそれぞれ

$$E_D(r, T) = 3k_B T D(\Theta_D/T) + E_0, \quad (3.40)$$

と、

$$S_D(r, T) = 3k_B \left[\frac{4}{3} D(\Theta_D/T) - \ln(1 - e^{-\Theta_D/T}) \right] \quad (3.41)$$

となる。ここで E_0 は零点エネルギーを表し、

$$E_0 = \frac{9}{8} k_B \Theta_D \quad (3.42)$$

とされる。以上より自由エネルギーの最終形態として式をまとめると、以下のよう
にまとめることができる。

$$f(r, T) = E(r) - k_B T [D(\Theta_D/T) - 3 \ln(1 - e^{-\Theta_D/T})] + \frac{9}{8} k_B \Theta_D \quad (3.43)$$

これまで考慮してきた、体積弾性率、デバイ温度、デバイ関数をこの自由エネルギーの式に当てはめることで、容易に物質の自由エネルギーを計算することができ、さらに熱膨張も計算することができるようになる。

3.6 熱膨張係数 α

この求めた自由エネルギーから、各温度における自由エネルギーの最小点を取り、それをつなげていくと、 $r_0[\text{a.u.}]$ と $T[\text{K}]$ の関数で表すことができる。これを示したものが、

$$\alpha = \frac{1}{r_0} \frac{dr_0}{dT} \quad (3.44)$$

となる。つまり、自由エネルギーの各温度における平衡原子間距離さえわかれば、熱膨張係数が計算できることになる。

第4章 結果

まず、最初にこの論文に記載されている計算式の正確性を立証するために、実際にKの自由エネルギーを計算してみた。計算を実行していくにつれ、いくつかの記述の誤りがあり、それを訂正することで、論文に掲載されているものと同様の結果が得られるようになった。

苦労した点は、自分の実行したプログラムと論文の結果とでは、体積弾性率と自由エネルギーの単位が合わず、自由エネルギーの式を完全に再現しても同じグラフがでなかった。そこで、体積弾性率の単位を¹ [Ry/a.u.³], [eV/Å³], [GPa], [kbar]と変化させることでうまく対応できた。

また自由エネルギーに関してはRyとボルツマン定数 k_B を使い、単位をmRyに合わせることで正確な結果が抽出できた。以下に、実際計算したプログラムとそのグラフをKとTi-bccに分けて掲載していく。

4.1 K

Moruzziらがサンプルとして記述したKにおける自由エネルギーを再現するために、彼らの実験結果から抽出された物性値パラメータを用いて、体積弾性率、デバイ温度、デバイ関数を計算していき、最後にこれを自由エネルギーの式に代入して、その様子をプロットした。

第3章の冒頭で記したように、最初単位が合わず、グラフが正確に抽出できなかったが、ボルツマン定数や単位をきちんと考慮することで解決できた。またデバイ関数に関してはこの論文には正確な式が掲載されていないので注意する必要がある。

プロットした自由エネルギーのグラフから平衡原子間距離を読み取ると、温度を上げるにつれて変化していく様子がはっきりわかる。つまり、熱膨張が起こっていることが読み取れる。

実際プロットしたグラフの温度は $T=100, 200, 400, 800$ [K]と変化させた。以下に述べるTi-bccについても同じ温度で検証する。

また、この際求めた、各温度における自由エネルギーと、温度の関係式を使うことで熱膨張係数を計算した。

¹1a.u.=2Ry=27.2eV, 1a.u.=0.529177 Å, 1kbar=10⁸Pa, Pa=2.94 × 10³a.u., 1GPa=10kbar

4.1.1 2体間ポテンシャル

まず、Kの物性値パラメータは計算結果が残っているので、 $A=-1196.377$, $D=0.0724$, $\lambda=0.6303$, $r_0=4.7719$ を用いてKの結合エネルギーを求める。

これを実行したMapleのプログラムを掲載する。

```
> restart;
> lambda:=0.6303;
> A:=-1196.377;
> r0:=4.7719;
> De:=0.0724;
  lambda := 0.6303
  A := -1196.377
  r0 := 4.7719
  De := 0.0724
```

//A, r0, De(D), lambda(λ)はV. L. Moruzziらの論文に掲載されている値を使用。

```
> solve({De=b^2/(4*c),b/c=-2*exp(-lambda*r0),a=A},{a,b,c});
  {a = -1196.377000, b = -2.930950494, c = 29.66322789}
```

//a, b, cの単位は[Ry/atom],
//M: 原子量

```
> a:=A;
> b:=-2.930950494;
> c:=29.66322789;
> M:=39.102;
> a := -1196.377
  b := -2.930950494
  c := 29.66322789
  M := 39.102
```

//このパラメータを使って結合エネルギーを計算すると

```
> E1:=(a+b*exp(-lambda*r)+c*exp(-2*lambda*r));
> E:=unapply(E1,r);
E1 := -1196.377 - 2.930950494 exp(-0.6303 r)
```

$$\begin{aligned}
& + 29.66322789 \exp(-1.2606 r) \\
E := r \rightarrow & -1196.377 - 2.930950494 \exp(-0.6303 r) \\
& + 29.66322789 \exp(-1.2606 r)
\end{aligned}$$

となる。この結合エネルギーを図示すると以下の図 4.1 のようになる。

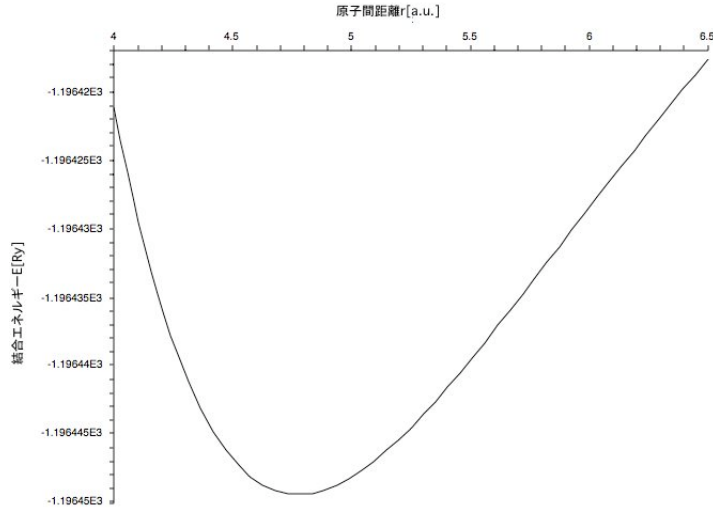


図 4.1: K の結合エネルギー E [Ry]

4.1.2 体積弾性率 B

体積弾性率は (3.16) 式で計算できる。これを計算したプログラムが以下の通りである。

```

//体積弾性率 (bulk modulus)    B=B1*B2:

> B1:=unapply
((-lambda^3*exp(-lambda*r))/(12*Pi*ln(exp(-lambda*r))),r);
> B2:=unapply
((b+4*c*exp(-lambda*r))-(2/ln(exp(-lambda*r)))*(b+2*c*exp(-lambda*r)),r);
> B:=unapply(B1(r)*B2(r)*((27.2/2)/(0.529177)^3)*160.218*10,r);

//r0 における B[kbar]

```

```
> evalf(B(r0));
```

47.02058827

これを図示したものが図 4.2 である.

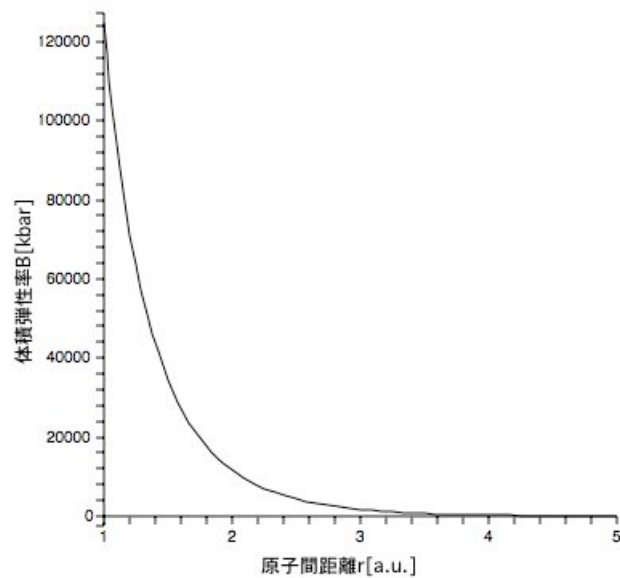


図 4.2: K における体積弾性率 B [kbar]

4.1.3 デバイ温度 Θ_D

続いてデバイ温度だが、式 (3.37) で表されるため、これに体積弾性率と K の原子量を代入して、 r の関数としてプロットしてみると、図 4.3 のようになる。

その Maple でのプログラムは、

```
//デバイ温度 [K] (数百 K 程度)
```

```
> thetaD:=unapply(41.63*((r0*B(r))/M)^(1/2),r):
```

となる。

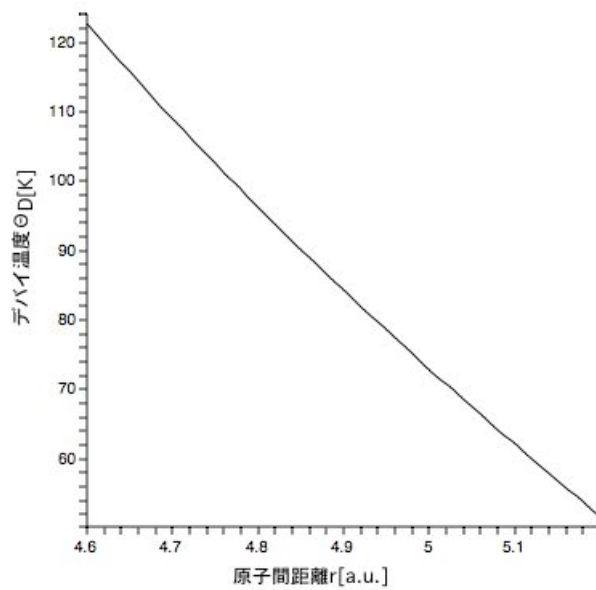


図 4.3: K におけるデバイ温度 Θ_D [K]

4.1.4 デバイ関数 $D(\Theta_D)$

デバイ関数はデバイ温度をパラメータとした関数である。この関数は (3.38) 式のようになる。実際に Maple で書いてみると、

```
> Debye:=unapply((3/y^3)*Int(exp(x)*x^4/(exp(x)-1)^2,x=0..y),y):
> Df:=unapply(Re(evalf(Debye(thetaD(r)/T))),r,T):
```

となる。

このプログラムを実行すると、実数値と虚数値が現れてしまうので、Re で実数だけに限定している。これをプロットしたものが図 4.4 となる。

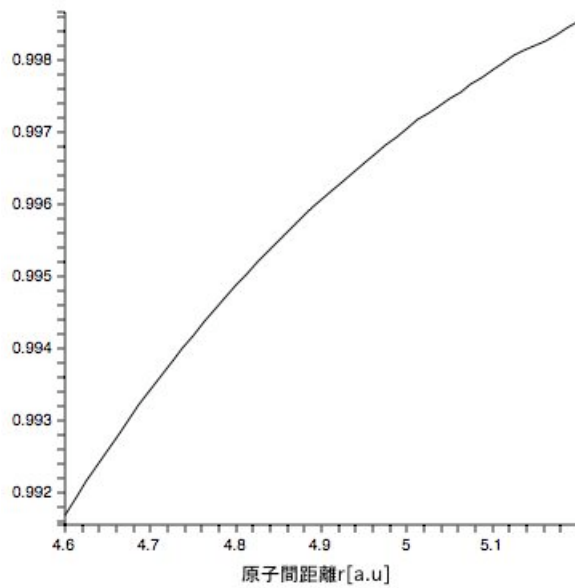


図 4.4: $T=300$ としたときの K のデバイ関数 $D(\Theta_D)$

4.1.5 自由エネルギー F

自由エネルギーは以下のようにして求まる.

```
> eq1:=unapply((kb/Ry)*T*(Df(r,T)-3*ln(1-exp(-thetaD(r)/T)))
-(9/8)*(kb/Ry)*thetaD(r),r,T):
```

```
//(kb/Ry) を掛けることで単位を Ry に変換している.
//まず E(r0) のエネルギーを基準値 (= 0) とし,
//次に自由エネルギーの単位を mRy にするため全体に m(ミリ: 10-3) を掛けた.
```

```
> g:=(-E(r0)+E(r)-eq1(r,T))*10-3:
> f:=unapply(g,r,T):
```

```
//f: 自由エネルギーの式
```

```
> with(plots):
Warning, the name changecoords has been redefined
> p1:=plot(f(r,100),r=4.6..5.2,color=black):
> p2:=plot(f(r,200),r=4.6..5.2,color=black):
> p3:=plot(f(r,400),r=4.6..5.2,color=black):
```

```
> p4:=plot(f(r,800),r=4.6..5.2,color=black):
```

//r=4.6~5.2の範囲で温度Tを100, 200, 400, 800と変化させたものをグラフ化した.

```
> display(p1,p2,p3,p4);  
evalf(f(r0,100),6);  
evalf(f(r0,200),6);  
evalf(f(r0,400),6);  
evalf(f(r0,800),6);
```

```
-0.767930  
-4.08986  
-13.6579  
-43.6881
```

これを実際にプロットしたものが図 4.5 となる.

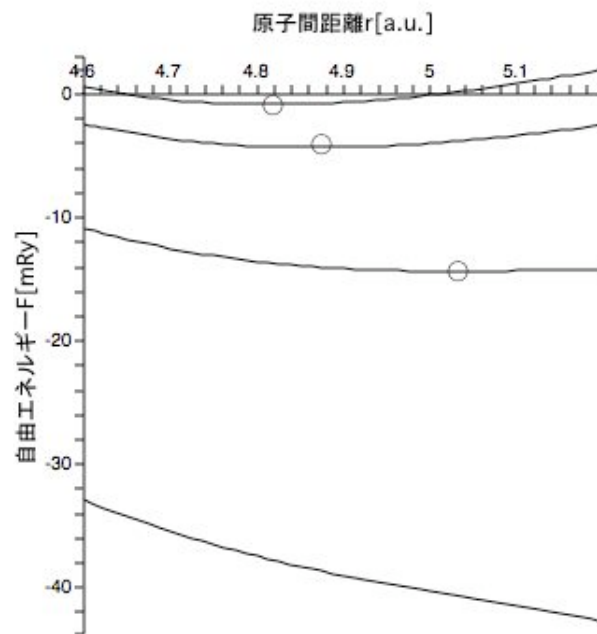


図 4.5: $T=100, 200, 400, 800$ [K] としたときの K の自由エネルギー [mRy]

図 4.5 を見ると、温度を上げるにつれて平衡原子間距離が変化していく様子が見え、はっきりわかる。つまり、熱膨張がはっきりと確認できる。ちなみに、 $T=100, 200, 400, 800[\text{K}]$ における平衡原子間距離の K の自由エネルギーの値と平衡原子間距離の値を記述したものが表 4.1 となる。しかし、図 4.6 のように、 $800[\text{K}]$ における自

表 4.1: 温度を変化させたときの K の平衡原子間距離とそのときの自由エネルギーの値

$T[\text{K}]$	平衡原子間距離 $r_0[\text{a.u.}]$	自由エネルギー $F[\text{mRy}]$
100	4.8171	-0.81835
200	4.8656	-4.33144
400	5.0291	-14.3131
800	_____	_____

由エネルギーの平衡点が現れない。これは K の融点が低く、 $800[\text{K}]$ まで温度を上げてしまうと、融けてしまうからである。

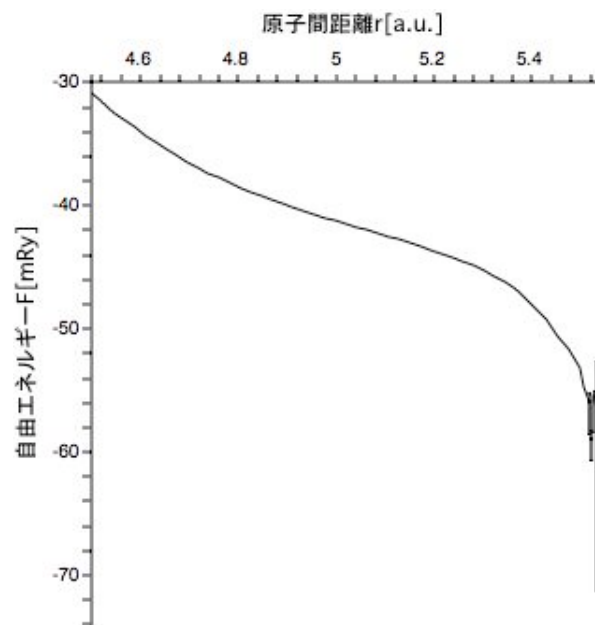


図 4.6: $T=800$ における K の自由エネルギー

これらより、K の自由エネルギーは正確に再現することができ、彼らの手法の正確さが確認された。よって、この手順にしたがって Ti-bcc についても同様に自由エネルギーを計算していく。

4.1.6 熱膨張係数 α

熱膨張係数は (3.44) 式で計算することができる。これを Maple で書いたものが以下である。

```
> with(stats):
> with(linalg):
> with(plots):
> p1:=4.6:p2:=5.2:

//範囲指定 4.6~5.2

> n_div:=(p2-p1)/20:
> for T1 from 1 to 30 do
> data[T1]:=[];datax[T1]:=[];datay[T1]:=[];
> for i1 from 0 to 20 do
> rr:=p1+n_div*i1;
> #printf("%10.5f %10.5fn",rr,f(rr,10*T1));
> datax[T1]:=[op(datax[T1]),rr];
> datay[T1]:=[op(datay[T1]),evalf(f(rr,10*T1))];

//datax[T1]: x座標, datay[T1]: y座標
//10*T1 で温度を 10K ずつとる。

> end do:
> data[T1]:=[datax[T1],datay[T1]];
> #print(data[T1]);
> end do:
```

Warning, these names have been redefined: anova, describe, fit, importdata, random, statevalf, statplots, transform

```
> for T1 from 1 to 30 do
> P:=transpose(data[T1]):
> pointplot(P):
> d[T1]:=pointplot(P):
> #print(d[T1]);
> end do:
> for i from 1 to 30 do
> with(stats):
```

```

> fit[i]:=fit[leastsquare[[x,y], y=c0+c1*x+c2*x^2+c3*x^3+c4*x^4+c5*x^5,
  {c0, c1,c2,c3,c4,c5}]](data[i]):

//x と y のデータ [T1] をフィッティングする.

> f||i:=unapply(rhs(fit[i]),x);
> end do:

Warning, these names have been redefined: anova, describe, fit, importdata,
random, statevalf, statplots, transform
Warning, these names have been redefined: anova, describe, fit, importdata,
random, statevalf, statplots, transform
Warning, these names have been redefined: anova, describe, fit, importdata,
random, statevalf, statplots, transform
: :
Warning, these names have been redefined: anova, describe, fit, importdata,
random, statevalf, statplots, transform
Warning, these names have been redefined: anova, describe, fit, importdata,
random, statevalf, statplots, transform
Warning, these names have been redefined: anova, describe, fit, importdata,
random, statevalf, statplots, transform

> data2:=[]:
> for i from 1 to 30 do
> data2:=[op(data2),[10*i,fsolve(diff(f||i(x)=0,x),x=4..5)]];

//微分して=0となるxの値を計算し、配列に格納する。この値をx'とす
ると
//配列の中身は [ T(10K ずつ) , x' ] となる.

> end do:
> data2:
> pointplot(data2);

> data3:=convert(transpose(convert(data2,array)),listlist):
> with(stats):
> fit100:=fit[leastsquare[[x,y], y=c0+c1*x+c2*x^2+c3*x^3+c4*x^4+c5*x^5,
  {c0, c1,c2,c3,c4,c5}]](data3):

```

```
//data2をフィッティング.
```

```
> fa:=unapply(rhs(fit100),x):  
Warning, these names have been redefined: anova, describe, fit, importdata,  
random, statevalf, statplots, transform  
> d100:=plot(fa(x),x=0..300):  
> dr:=pointplot(data2):  
> display(d100,dr);
```

```
> faa:=diff(fa(x),x);
```

```
faa := 0.00004716321561 + 0.000006679377244 x - 4.464971202 10(-8) x2  
+ 1.468506974 10(-10) x3 - 1.661259842 10(-13) x4
```

```
> daa:=plot(faa(x),x=0..300):  
> display(daa);
```

```
> faaa:=r0(-1)*faa;  
> daaa:=plot(faaa(x),x=0..300):
```

```
//熱膨張係数
```

```
> display(daaa);
```

```
faaa := 0.000009883529750 + 0.000001399731186 x - 9.356799603 10(-9) x2  
+ 3.077405172 10(-11) x3 - 3.481338339 10(-14) x4
```

これらから、Kの熱膨張係数をプロットすると、図4.7となる。

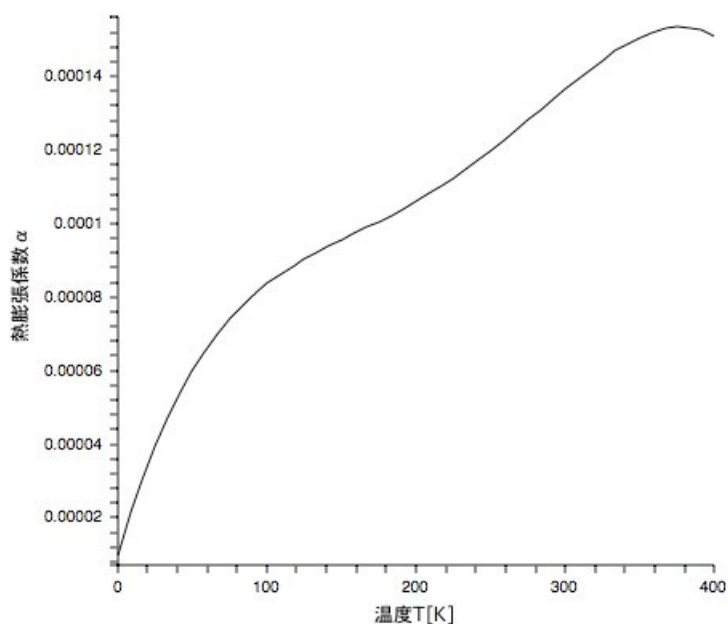


図 4.7: $T=0-400$ [K] としたときの K の熱膨張係数

4.2 Ti-bcc

Ti-bcc の結合エネルギーを計算する場合、K と違って物性値パラメータは与えられていないので、同研究室員の真田氏が第一原理計算で求めた Ti の結合エネルギーを使って、物性値パラメータを計算した。

注意した点は、真田氏が計算した Ti の結合エネルギーの単位が [eV] だったため、[Ry] に変換しなければいけないことであった。自由エネルギーを計算するまでの過程は基本的に K の場合と同様である。

また、Ti の自由エネルギーをプロットしてみると (K と同様に温度は $T=100, 200, 400, 800$ [K] と変化させた)、温度を上げていくにつれて、Ti-bcc の自由エネルギーの平衡原子間距離が少しずつ変化していく様子が伺える。しかし、K と比較すると変化量は大きくない。これは K と Ti-bcc とでは体積弾性率に大きな差があり、体積弾性率の大きさは変形のしにくさを示すことなどから予想される結果である。

4.2.1 2体間ポテンシャル

Ti-bcc も同様の手法で自由エネルギーを計算していく。
まず、真田裕示氏が第一原理計算で計算した Ti-bcc の結合エネルギーの値を使う。
これ原子間ポテンシャルにフィットさせて、物性値パラメータ A , λ , D , r_0 を抽出する。これを実際に Maple で実行していくと、以下のようになる。

```
> restart;
p1 := [[2.61, -9.307376], [2.639, -9.94744], [2.726, -11.600086],
       [2.9, -13.878388], [3.045, -14.893112], [3.103, -15.115222],
       [3.19, -15.284125], [3.2, -15.292761], [3.3, -15.260682],
       [3.5, -14.715456], [4.5, -9.892994]];
for i from 1 to nops(p1) do
  p1[i][2]:=p1[i][2]/2;
end do;

//p1=[ 格子定数 [Å], 結合エネルギー [eV] ]

> with(linalg):
> data11:=convert(transpose(convert(p1,array)),listlist);
> data11[1];
> data1:=[data11[1]*evalf((3)^(1/2)/2),data11[2]];
> q1:=convert(transpose(convert(data1,array)),listlist);
data11 := [[2.61, 2.639, 2.726, 2.9, 3.045, 3.103, 3.19, 3.2, 3.3, 3.5, 4.5],
           [-4.653688000, -4.973720000, -5.800043000, -6.939194000,
            -7.446556000, -7.557611000, -7.642062500, -7.646380500,
            -7.630341000, -7.357728000, -4.946497000]]
[2.61, 2.639, 2.726, 2.9, 3.045, 3.103, 3.19, 3.2, 3.3, 3.5, 4.5]

data1 := [[2.260326304, 2.285441041, 2.360785251, 2.511473672,
           2.637047355, 2.687276829, 2.762621039, 2.771281293, 2.857883833,
           3.031088914, 3.897114318 ],
          [-4.653688000, -4.973720000, -5.800043000, -6.939194000, -7.446556000,
           -7.557611000, -7.642062500, -7.646380500, -7.630341000, -7.357728000,
           -4.946497000]]

q1 := [[2.260326304, -4.653688000], [2.285441041, -4.973720000],

       [2.360785251, -5.800043000], [2.511473672, -6.939194000],
```

```

[2.637047355, -7.446556000], [2.687276829, -7.557611000],

[2.762621039, -7.642062500], [2.771281293, -7.646380500],

[2.857883833, -7.630341000], [3.031088914, -7.357728000],

[3.897114318, -4.946497000]]

> with(stats):
> fit1:=fit[leastsquare[[x,y], y=a+b*x+c*x^2+d*x^3+e*x^4+f*x^5]](data1):
> f2:=unapply(rhs(fit1),x);
Warning, these names have been redefined: anova, describe,
fit, importdata, random,
statevalf, statplots, transform

f2 := x -> 183.0109077 - 175.3991853 x + 44.16056438 x^2 +
2.588249377 x^3 - 2.296271103 x^4 + 0.2240169948 x^5
> with(plots):
> pp1:=pointplot(q1):
> f1:=(a,b,c,d,r)->a+b*exp(-d*r)+c*exp(-2*d*r);
f1 := (a, b, c, d, r) -> a + b exp(-d r) + c exp(-2 d r)
> pp2:=plot(f2(r),r=2.6..4.5):
> display(pp1,pp2);

> x0:=fsolve(diff(f2(x),x),x=2.8..4.4);
> y0:=f2(x0);
> y1:=subs(x=x0,diff(f2(x),x));
> y2:=subs(x=x0,diff(f2(x),x,x));
> y3:=subs(x=x0,diff(f2(x),x,x,x));
x0 := 2.800614869
y0 := -7.65827074
y1 := 1.5 10^(-7)
y2 := 14.10242002
y3 := -33.3899271

> eqs:={
y0=f1(a,b,c,d,x0),
subs(x=x0,diff(f1(a,b,c,d,x),x))=0,
y2=subs(x=x0,diff(f1(a,b,c,d,x),x,x)),

```

```

y3=subs(x=x0,diff(f1(a,b,c,d,x),x,x,x))
}:
> sol1:=solve(eqs,{a,b,c,d});
sol1 := {b = -206.4522629, c = 941.2755883, a = 3.662148431,
d = 0.7892245220}
> f3:=unapply(subs(sol1,f1(a,b,c,d,x)),x);
f3 := x -> 3.662148431 - 206.4522629 exp(-0.7892245220 x)

+ 941.2755883 exp(-1.578449044 x)
> pp3:=plot(f3(r),r=2.6..4.5,color=blue);
> display(pp1,pp2,pp3);

> E1:=(2/27.2)*f3(x);
E1=0.2692756199 - 15.18031345 exp(-0.7892245220 x)

+ 69.21144031 exp(-1.578449044 x)

```

ここで注意すべき点は、真田氏が計算した Ti-bcc の結合エネルギーは [eV] で計算されているため、単位を [Ry] に変換する必要があった。また、ここで計算した r_0 は E1 における平衡点、すなわちエネルギーが一番大きいときの原子間距離を表している。実際にこの結合エネルギーをプロットしたものが図 4.8 となる。

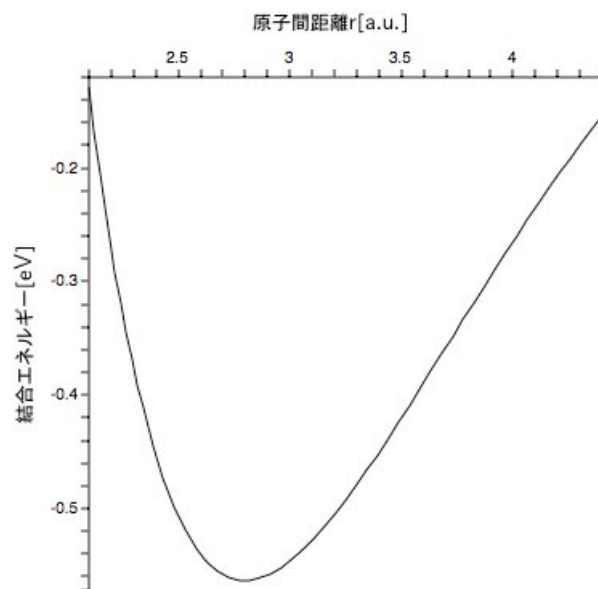


図 4.8: Ti-bcc の結合エネルギー E [Ry]

4.2.2 体積弾性率 B

次に体積弾性率だが,

```
//体積弾性率 (bulk modulus)    B=B1*B2:  
> B1:=unapply((-lambda^3*exp(-lambda*r))/(12*Pi*ln(exp(-lambda*r))),r):  
> B2:=unapply((b+4*c*exp(-lambda*r))-(2/ln(exp(-lambda*r)))  
*(b+2*c*exp(-lambda*r)),r):  
> B3(r):=B1(r)*B2(r)*91.77745886*160.218*10:  
  
> B:=unapply(B3(r),r):  
> plot(B(r),r=1..5,color=black);  
> evalf(B(r0));
```

1443.924816

これをプロットしてみると, 図 4.9 となる.

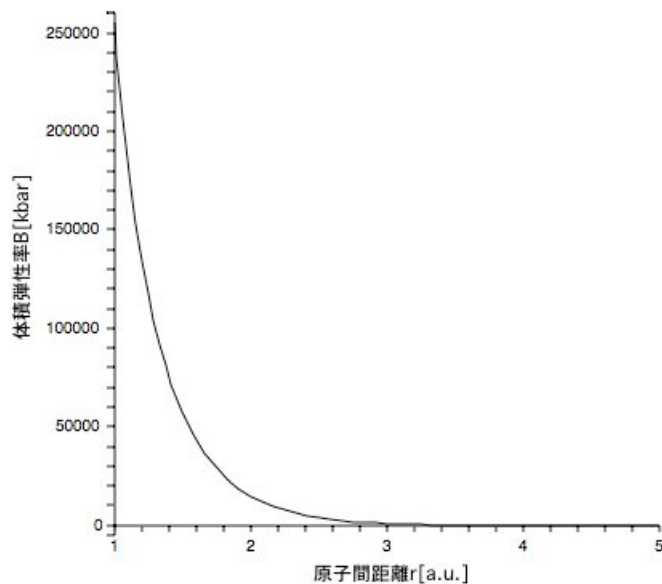


図 4.9: Ti-bcc の体積弾性率 B [kbar]

4.2.3 デバイ温度 Θ_D

次はデバイ温度であるが, これも同様に計算すると, 以下のようになり, 図 4.10 のようになる.

```
//デバイ温度 [K] (数百 K 程度)
> thetaD:=unapply(41.63*(r*B(r)/M)^(1/2),r):

> plot(thetaD(r),r=2.65..2.75,labels=["r[a.u.]", "T[K]"],
labeldirections=[HORIZONTAL,VERTICAL]);

//デバイ温度のグラフと r0 におけるその値
> evalf(thetaD(r0));
382.5853407
```

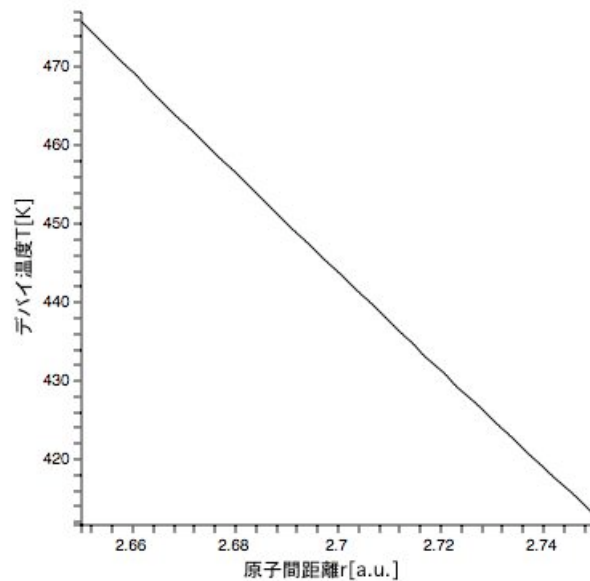


図 4.10: Ti-bcc のデバイ温度 Θ_D

4.2.4 デバイ関数 $D(\Theta_D)$

デバイ関数に関しても以下同様である。図 4.11 に示す。

```
//デバイ関数
> Debye:=unapply((3/y^3)*int(f1(x),x=0..y),y):
> Df:=unapply(Re(evalf(Debye(thetaD(r)/T))),r,T):
> plot(Df(r,300),r=2.75..2.85,color=black);
```

//T=300 の時のデバイ関数の値.

```
> Df(r0,300);
```

0.9231791521

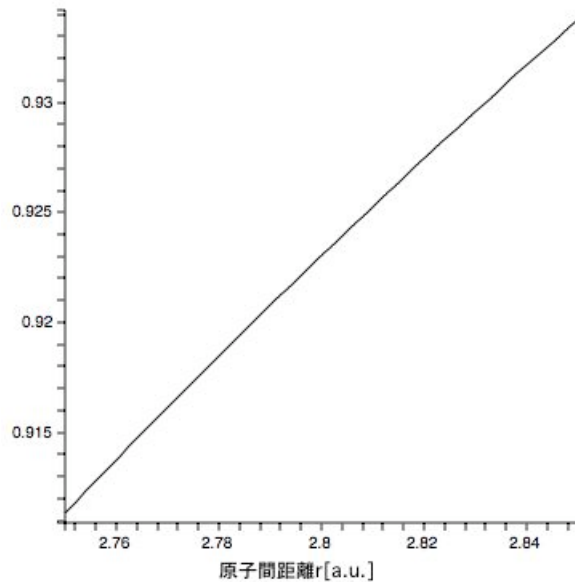


図 4.11: Ti-bcc の $T=300$ のときのデバイ関数 $D(\Theta_D)$

4.2.5 自由エネルギー F

次に、自由エネルギーの式に体積弾性率、デバイ温度、デバイ関数を代入すると、図 4.12 のように自由エネルギーが抽出される。

```
> eq1:=unapply((kb/Ry)*T*(Df(r,T)-3*ln(1-exp(-thetaD(r)/T)))  
-(9/8)*(kb/Ry)*thetaD(r),r,T):
```

```
//まず E(r0) のエネルギーを基準 (= 0) とし,  
//次に自由エネルギーの単位を mRy にするため全体に m(ミリ: 10^3) を掛  
けた.
```

```
> g:=(-E(r0)+E(r)-eq1(r,T))*10^3:
```

```
> f:=unapply(g,r,T):
```

```
> with(plots):
```

```
Warning, the name changecoords has been redefined
> p2:=plot(f(r,100),r=2.75..2.85,color=red):
> p3:=plot(f(r,200),r=2.75..2.85,color=green):
> p5:=plot(f(r,400),r=2.75..2.85,color=blue):
> p6:=plot(f(r,800),r=2.75..2.85,color=black):
>
r=3.1-3.4の範囲で温度Tを100, 200, 400, 800と変化させたものをグラフィ化した.
> display(p1,p2,p3,p4,labels=["r[a.u.]", "Free energy [mRy]"],
labeldirections=[HORIZONTAL,VERTICAL]);
> evalf(f(r0,100),6);
> evalf(f(r0,200),6);
> evalf(f(r0,400),6);
> evalf(f(r0,800),6);

//r=r0における自由エネルギー
```

```
0.730008
-1.35090
-7.81737
-26.1034
```

また、各温度における自由エネルギーの原子間距離と、そのときの値を示したものは表 4.2 である。

表 4.2: 温度を変化させたときの Ti-bcc の平衡原子間距離とそのときの自由エネルギーの値

T [K]	平衡原子間距離 r_0 [a.u.]	自由エネルギー F [mRy]
100	2.8063	2.33670
200	2.8079	1.03553
400	2.8125	-3.44397
800	2.8233	-17.23733

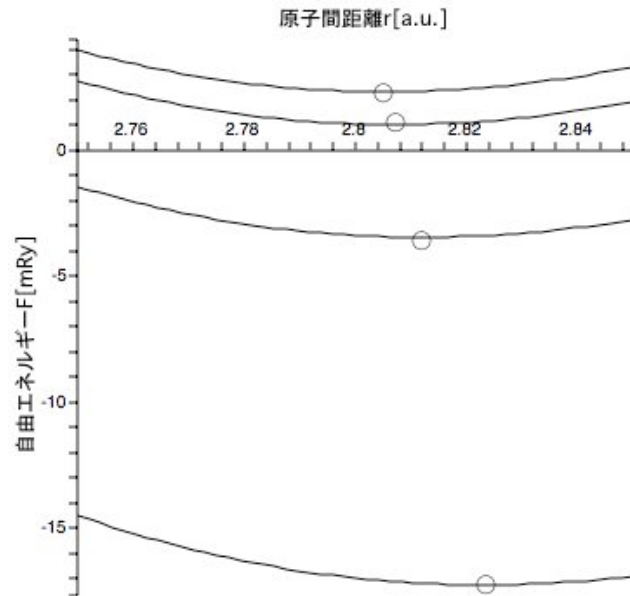


図 4.12: $T=100,200,400,800$ [K] における Ti-bcc の自由エネルギー

4.2.6 熱膨張係数 α

横軸に温度 T ，縦軸に平衡原子間距離 r_0 を取る．これを T で微分し， r_0 で割ったものが熱膨張係数となる．それを実行したものが以下のプログラムであるが，K のケースとほぼ同じであるので，説明は省略する．

```
> with(stats):
> with(linalg):
> with(plots):
> p1:=2.75:p2:=2.85:

//p1, p2 で原子間距離の範囲指定
> with(stats):
> with(linalg):
> with(plots):
> p1:=2.75:p2:=2.85:
> n_div:=(2.85-2.75)/20:
> for T1 from 1 to 80 do
> data[T1]:=[];datax[T1]:=[];datay[T1]:=[];
> for i1 from 0 to 20 do
```

```

> rr:=p1+n_div*i1;
> #printf("%10.5f %10.5fn",rr,f(rr,10*T1));
> datax[T1]:=[op(datax[T1]),rr];
> datay[T1]:=[op(datay[T1]),evalf(f(rr,10*T1))];
> end do:
> data[T1]:=[datax[T1],datay[T1]];
> #print(data[T1]);
> end do:
>
Warning, the protected names norm and trace have been redefined and unprotected
> for T1 from 1 to 80 do
> P:=transpose(data[T1]):
> pointplot(P):
> d[T1]:=pointplot(P):
> #print(d[T1]);
> end do:
> for i from 1 to 80 do
> with(stats):
> fit[i]:=fit[leastsquare[[x,y], y=c0+c1*x+c2*x^2+c3*x^3+c4*x^4]](data[i]):
> f||i:=unapply(rhs(fit[i]),x);
> end do:
>
>
Warning, these names have been redefined: anova, describe, fit, importdata,
random, statevalf, statplots, transform
Warning, these names have been redefined: anova, describe, fit, importdata,
random, statevalf, statplots, transform
Warning, these names have been redefined: anova, describe, fit, importdata,
random, statevalf, statplots, transform
:
:
Warning, these names have been redefined: anova, describe, fit, importdata,
random, statevalf, statplots, transform
Warning, these names have been redefined: anova, describe, fit, importdata,
random, statevalf, statplots, transform
Warning, these names have been redefined: anova, describe, fit, importdata,
random, statevalf, statplots, transform
> d1:=plot(f1(x),x=2.75..2.85,color=black):
> d2:=plot(f2(x),x=2.75..2.85,color=black):

```

```

> d3:=plot(f3(x),x=2.75..2.85,color=black):
> display(d[1],d1);
> display(d[2],d2);
> display(d[3],d3);

```

```

> data2:=[]:
> for i from 1 to 80 do
> data2:=[op(data2),[10*i,fsolve(diff(f||i(x)=0,x),x=2.75..2.85)]];
> end do:
> data2:
> pointplot(data2);
> data2[10];
> data2[20];
> data2[30];
> data2[40];
> data2[50];
> data2[60];
> data2[70];
> data2[80];

```

```

[100, 2.806265423]
[200, 2.807871343]
[300, 2.810055751]
[400, 2.812519275]
[500, 2.815118150]
[600, 2.817798002]
[700, 2.820520927]
[800, 2.823277326]

```

```

> data3:=convert(transpose(convert(data2,array)),listlist):
> with(stats):
> fit100:=fit[leastsquare][[x,y],
y=c0+c1*x+c2*x^2+c3*x^3+c4*x^4+c5*x^5]](data3):
> fa:=unapply(rhs(fit100),x);

```

Warning, these names have been redefined: anova, describe, fit, importdata, random, statevalf, statplots, transform

```

fa := x -> 2.804720033 + 0.000002818165522 x + 5.850975438 10(-8) x2
- 7.211587401 10(-11) x3 + 4.283966469 10(-14) x4

```

```

- 8.710965713 10(-18) x5

> limit(diff(fa(x),x),x=0);
> limit(diff(fa(x),x,x),x=0);
0.000002818165522
-7
1.170195088 10
> d100:=plot(fa(x),x=0..800,color=black):
> dr:=pointplot(data2):
> display(d100,dr);

> faa:=diff(fa(x),x);

faa := 0.000002818165522 + 1.170195088 10(-7) x
- 2.163476220 10(-10) x2 + 1.713586588 10(-13) x3
- 4.355482856 10(-17) x4

> daa:=plot(faa(x),x=0..800,color=black):
> display(daa);

> faaa:=r0(-1)*faa;
> daaa:=plot(faaa(x),x=0..800,color=black):
> display(daaa);

faaa := 0.000001006266714 + 4.178350622 10(-18) x
- 7.725004405 10(-11) x2 + 6.118608478 10(-14) x3
- 1.555188078 10(-17) x4

```

これを実行したものが図 4.13 となる。

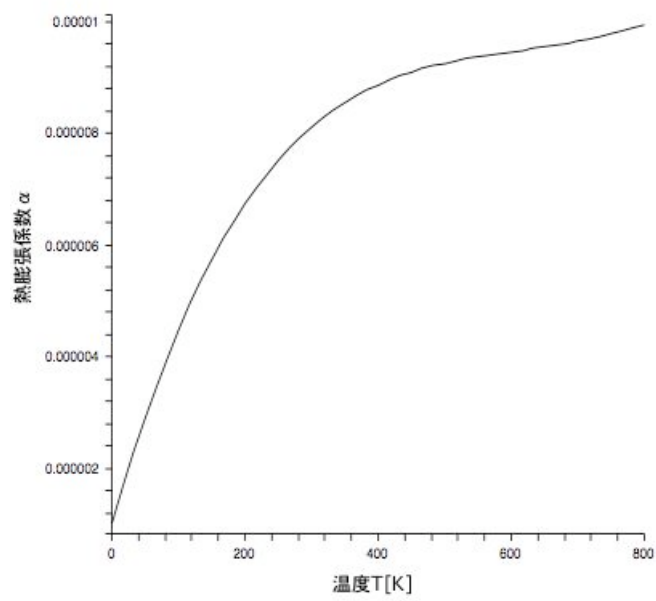


図 4.13: $T=0-800$ [K] における Ti-bcc の熱膨張係数 α

第5章 総括

本研究では V. L. Moruzzi らが採用した，体積-エネルギーカーブから自由エネルギーを計算する手法である Quasi-harmonic 近似法を用いて自由エネルギー及び，熱膨張係数を計算した。

しかし第一章で先述したように，彼らが掲載してる式にいくらかの誤りが見うけられた。一方，論文に記載されている計算手順は合っていたので，それらの誤りを訂正し，正しい計算式を用いて K の自由エネルギーを計算すると，彼らが検出した値と同じ値が検出された。つまり，彼らの計算結果を正確に再現できたことになる。

また次に，Ti-bcc の自由エネルギーにおいては，西谷研の真田氏が第一原理計算で計算した Ti-bcc の結合エネルギーを用いて計算を実行していった。体積弾性率，デバイ温度，デバイ関数，自由エネルギーと計算した結果，K 同様に Ti-bcc でも温度をあげるにつれて，自由エネルギーの平衡点の変位が見られ，また実際に熱膨張係数を計算し，様子をプロットするとはっきり熱膨している様子を確認することができた。

よって，本研究で作成した熱膨張を計算するプログラムを用いれば，K，Ti-bcc 以外の元素に関しても，結合エネルギーのデータさえ存在すれば，容易に自由エネルギー，熱膨張が計算できることになる。

謝辞

本研究を遂行していくにあたり，終始多大なる有益なご指導，及び丁寧な助言を頂いた西谷滋人教授に深い感謝の意を表します。

また，本研究を進めるにつれ，西谷研究室員の皆様にもさまざまな知識の供給，御協力を頂き，本研究を大成することができました。最後になりましたが，この場を借りて心から深く御礼申し上げます。

引用文献

- [1] V. L. Moruzzi, J. F. Janak and K. Schwarz, " *Calculated thermal properties of metals,*" Phys. Rev. B, **37**(1988), 790-799
- [2] J. R. Hook and H. E. Hall 著, 「固体物理学入門 上」, 福山秀敏 監訳, 松浦民房, 鈴木順三, 黒田義浩 共訳, (丸善 (株), 東京, 2002).